

یادداشت فنی

بررسی تأثیر دما در پیش‌بینی دبی روزانه با استفاده از روش‌های مبتنی بر منطق فازی در حوضه آبریز لیقوان

مرتضی نبی‌زاده^۱ و ابوالفضل مساعدی^{*۲}

چکیده

پیش‌بینی آبدھی رودخانه و مقدار جریان خروجی از حوضه از مهم‌ترین موضوعات در برنامه‌ریزی و استفاده بهینه از منابع آب یک حوضه است. در مناطق سردسیر دما ممکن است بر آبدھی رودخانه موثر باشد. در این پژوهش برای پیش‌بینی دبی روزانه رودخانه لیقوان که در یک منطقه سردسیر واقع شده‌است، از مدل‌های مبتنی بر منطق فازی استفاده شده است بدین منظور از سه پارامتر بارندگی، دما و دبی روزانه این رودخانه استفاده شد. ارزیابی نتایج پیش‌بینی‌ها با استفاده از معیارهای سنجش خطاء از جمله معیار ناش-ساتکلیف نشان داد که مدل ANFIS با دقت بالاتر ($CNS=0.998$) و پراکندگی کمتری نسبت به مدل FIS ($CNS=0.993$) دبی این رودخانه را پیش‌بینی کرده‌است. همچنین با مقایسه بخش‌های مختلف مشخص شد که دما در ماه‌های آذر و فروردین برای مدل FIS، بر فرآیند پیش‌بینی مؤثر است و باعث افزایش دقت پیش‌بینی آبدھی می‌شود. علت این موضوع را می‌توان تأثیرپذیری نوع بارش از دمای هوا در ماه‌های آذر و فروردین در این منطقه دانست.

واژه‌های کلیدی: منطق فازی، هوش مصنوعی، مهندسی رودخانه، دما، دبی.

ارجاع: نبی‌زاده م و مساعدی ا. ۱۳۹۰. بررسی تأثیر دما در پیش‌بینی دبی روزانه با استفاده از روش‌های مبتنی بر منطق فازی در حوضه آبریز لیقوان. مجله پژوهش آب ایران.

۱- دانش آموخته کارشناسی ارشد مهندسی منابع آب، دانشگاه علوم کشاورزی و منابع طبیعی گرگان

۲- دانشیار دانشکده منابع طبیعی و محیط زیست دانشگاه فردوسی مشهد.

* نویسنده مسئول mosaedi@um.ac.ir

تاریخ دریافت: ۱۳۹۰/۰۵/۱۸ تاریخ پذیرش: ۱۳۹۰/۰۸/۰۱

اوجای و از غرب به حوضه آبریز رودخانه سردرود منتهی می‌شود.

تعیین مدل‌های ورودی و تأخیرهای زمانی مناسب

در این تحقیق داده‌های روزانه میانگین دما، میانگین دبی و مقدار بارندگی روزانه ۱۵ سال (از سال آبی ۱۳۶۷-۱۳۶۶ تا ۱۳۸۱-۱۳۸۰) به عنوان آموزش و ۵ سال (از سال آبی ۱۳۸۲-۱۳۸۱ تا سال آبی ۱۳۸۶-۱۳۸۵) به عنوان آزمون انتخاب شد. بررسی تأثیر دما بر پیش‌بینی آبدھی، در دو بخش صورت گرفت. در بخش اول پیش‌بینی به صورت کلی و برای تمام دوره آماری به صورت همزمان و بدون تفکیک داده‌ها از نظر زمان و قوع انجام شد (مدل‌های سالانه). اما در بخش دوم بررسی تأثیر دما در مورد هر ماه، به صورت مجزا صورت گرفت (مدل‌های ماهانه). مدل‌های ورودی طراحی شده این بخش در جدول ۱ ارائه شده است.

جدول ۱- ساختار ریاضی مدل‌های طراحی شده

ساختار مدل	نام مدل	روش مدل‌سازی	ساختار مدل
$Q_t = f(Q_{t-1}, R_t, T_t)$	P1M1	پیش‌بینی با مدل‌سازی سالانه	
$Q_t = f(Q_{t-1}, R_t)$	P1M2		
$Q_t = f(Q_{t-1}, R_t, T_t)$	P2M1	پیش‌بینی با مدل‌سازی ماهانه	
$Q_t = f(Q_{t-1}, R_t)$	P2M2		

به منظور ارزیابی دقیقت مدل‌های پیش‌بینی از معیارهای ناش- ساتکلیف^۱ (معادله ۱) و ریشه میانگین مربعات خطای (معادله ۲) استفاده گردید.

$$C_{NS} = 1 - \frac{\sum_{i=1}^n (Q_i^o - Q_i^s)^2}{\sum_{i=1}^n (Q_i^o)^2} \quad (1)$$

$$RMSE = \sqrt{\left(\frac{1}{n} \sum_{i=1}^n (Q_i^o - Q_i^s)^2 \right)} \quad (2)$$

در معادله های فوق، n تعداد داده‌ها، Q_i^o دبی

مشاهداتی، Q_i^s دبی شبیه‌سازی شده، CNS معیار ناش- ساتکلیف و RMSE ریشه میانگین مربعات خطای باشند.

مقدمه

ظهور کاربرد منطق فازی در مسائل مهندسی آب توسط بردوسی و همکاران (۱۹۹۰) برای محاسبات رگرسیونی در هیدرولوژی اتفاق افتاد. پس از آن‌ها دانشمندانی چون کیندلر (۱۹۹۲)، کاپرا و همکاران (۱۹۹۴) و راسل (۱۹۹۶) از منطق فازی در مدیریت منابع آب استفاده نمودند. از تحقیقات مربوط به منطق فازی می‌توان به مطالعات شو و اوردا (۲۰۰۸) برای آنالیز منطقه‌ای سیلاب در حوضه‌های آبخیز بدون ایستگام، کیسی و همکاران (۲۰۰۹) برای پیش‌بینی رسوب ماهانه و صفوی (۱۳۸۹) برای پیش‌بینی کیفی آب‌های سطحی اشاره کرد که همه این مطالعات دقت روش‌های فازی را تائید می‌کند. هدف از انجام این تحقیق، بررسی تأثیر دمای روزانه بر افزایش دقت پیش‌بینی آبدھی روزانه با استفاده از روش‌های مبتنی بر منطق فازی در مناطق سردسیر است.

مواد و روش‌ها

سیستم استنتاج فازی و سیستم استنتاج تطبیقی عصبی- فازی

تصمیم‌گیری یک بخش مهم در تمام سیستم‌ها می‌باشد. FIS، قوانین مناسب را تنظیم کرده و تصمیمات را برپایه این قوانین اخذ می‌کند. این عمل بر اساس مفاهیمی چون تئوری مجموعه‌های فازی، قوانین "اگر- آنگاه" فازی و استدلال فازی صورت می‌گیرد (سوناندم و همکاران، ۲۰۰۷). ANFIS قابلیت خوبی در آموزش، ساخت و طبقه‌بندی دارد و همچنین دارای این مزیت است که اجازه استخراج قوانین فازی را از اطلاعات عددی یا دانش متخصص می‌دهد و به طور تطبیقی یک قاعده- بنیاد می‌سازد.

منطقه مورد مطالعه

حوضه آبریز لیقوان چای یکی از زیر حوضه‌های دریاچه ارومیه بوده و با وسعتی معادل ۷۶ کیلومترمربع، از شمال به اسپره کوه و دره لیقوان، از جنوب به ارتفاعات سهند، از شرق به حوضه‌های آبریز سعیدآبادچای و

¹ Nash-Sutcliff Criterion (C_{NS})

بخش مدل P1M2 (مدل مستقل از دما) نتایج بهتری را ارائه داده است. این امر نشان می‌دهد که دما در حالت کلی (مدل سالانه) تأثیری در پیش‌بینی نداشته و نمی‌توان از مقدار دمای روزانه در پیش‌بینی دیگر روزانه برای تمامی دوره سال استفاده کرد.

جدول ۳ نشان می‌دهد که در بیشتر موارد نتایج مدل دقیق‌تر از مدل ANFIS است. مدل P2M2 (مدل مستقل از دما) در بیشتر موارد نتایجی دقیق‌تر ارائه داده است و مدل P2M1 (مدل وابسته به دما) تنها در ماه‌های آذر و فروردین (با مدل FIS نتایجی دقیق‌تر از مدل P2M2 (مدل مستقل از دما) ارائه کرده است. این مطلب نشان می‌دهد که دما در ماه‌های آذر و فروردین در آبدھی روزانه رودخانه مورد بررسی موثر است. نتایج مدل P1M2 در مدل سالانه (پیش‌بینی با ANFIS) و مدل P2M2 در مدل ماهانه (پیش‌بینی با FIS در ماه اسفند) در شکل‌های ۱ و ۲ ارائه شده است.

نتایج و بحث

پیش‌بینی جریان با روش‌های FIS و ANFIS

برای آموزش مدل FIS ابتدا باید قوانین موجود بین دادها استخراج شده و به روش سعی و خطا تعداد بهینه آن انتخاب شود. همچنین باید به روش سعی و خطا، به حالت بهینه توابع عضویت و سایر عملگرهای سیستم فازی رسید. همچنین برای مدل FIS ۵ تابع عضویت مثلثی، ذوزنقه‌ای، گوسی ۲ و زنگوله‌ای مورد آزمون قرار گرفت. تعداد تکرارهای بهینه نیز به روش سعی و خطا بدست آمد. نتایج پیش‌بینی در هر بخش و برای هر مدل در جداول ۲ و ۳ ارائه شده‌است.

بر اساس نتایج پیش‌بینی در بخش اول (جدول ۲) مشاهده می‌شود که نتایج مدل ANFIS به ازای دو مدل این بخش (مدلهای P1M1 و P1M2) دقیق‌تر از مدل

FIS است. همچنین با مقایسه نتایج دو مدل این

جدول ۲- مقادیر معیارهای ارزیابی خطاب برای مدل‌های سالانه

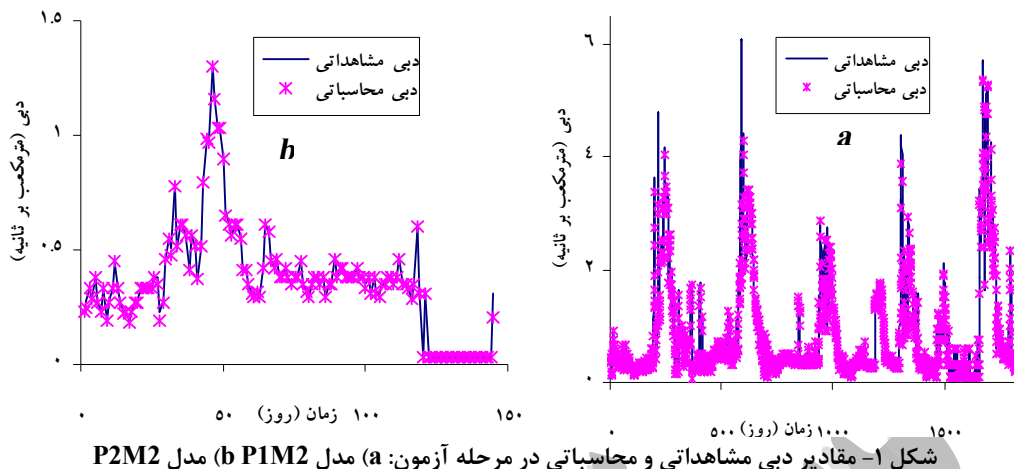
RMSE		C_{NS}		تکرار	تابع عضویت	نوع سیستم فازی	مدل
آزمون	آموزش	آزمون	آموزش				
۰/۲۵۳	۰/۲۸۴	۰/۹۲۳	۰/۹۰۳	-	ذوزنقه‌ای	FIS	P1M1
۰/۱۱۱	۰/۰۴۵	۰/۹۸۵	۰/۹۹۸	۳۳۰	ذوزنقه‌ای	ANFIS	
۰/۰۷۸	۰/۰۷۳	۰/۹۹۳	۰/۹۹۴	-	مثلثی	FIS	P1M2
۰/۰۴۵	۰/۰۴۰	۰/۹۹۱	۰/۹۹۱	۹۵	مثلثی	ANFIS	

جدول ۳- مقادیر معیارهای ارزیابی خطاب برای مدل‌های ماهانه

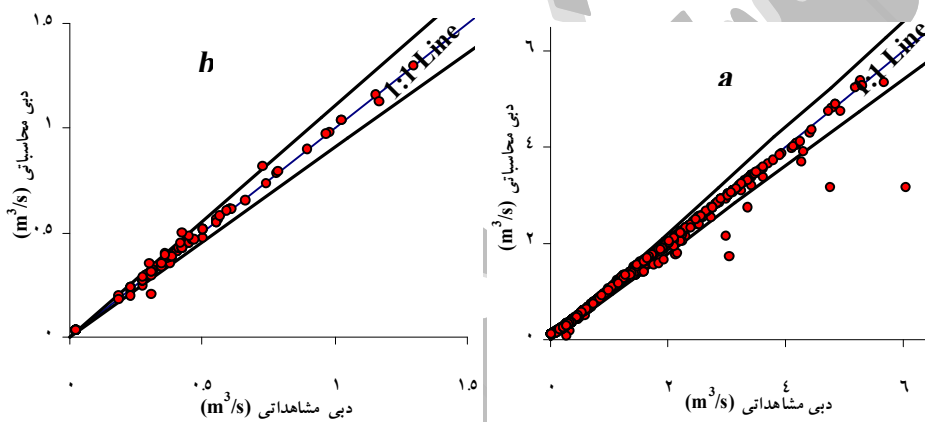
RMSE		C_{NS}		تکرار	تابع عضویت	نوع سیستم فازی	مدل	ماه
آزمون	آموزش	آزمون	آموزش					
۰/۰۹۵	۰/۰۸۲	۰/۸۳۸	۰/۷۸۵	-	گوسی ۲	FIS	P2M1	مهر
۰/۰۴۲	۰/۰۲۹	۰/۹۶۹	۰/۹۷۳	۹۷	گوسی ۲	ANFIS		
۰/۰۳۷	۰/۰۴۰۴	۰/۹۷۵۵	۰/۹۴۸۴	-	مثلثی	FIS	P2M2	آبان
۰/۰۶۰	۰/۰۳۰	۰/۹۳۵	۰/۹۷۲	۲۶	مثلثی	ANFIS		
۰/۰۲۸	۰/۱۰۹	۰/۹۹۵	۰/۷۸۶	-	زنگوله‌ای	FIS	P2M1	
۰/۱۳۴	۰/۰۶۹	۰/۸۷۵	۰/۹۱۴	۲۰۸	زنگوله‌ای	ANFIS		
۰/۰۱۷۵	۰/۰۹۶۷	۰/۹۹۷۸	۰/۸۳	-	گوسی	FIS	P2M2	
۰/۰۸۸	۰/۰۸۳	۰/۹۴۵	۰/۸۷۵	۱۰۳	گوسی	ANFIS		

ادامه جدول ۳ - مقادیر معیارهای ارزیابی خطاب برای مدل‌های ماهانه

ماه	مدل	نوع سیستم	تابع	عضویت	آزمون	C_{NS}	تکرار	آزمون	آموزش	آزمون	آموزش	آزمون	آموزش
آذر	P2M1	FIS	مثلثی	-	۰/۰۳۸	۰/۰۳۷	۰/۹۲۷	۰/۹۲۸	-				
	P2M2	ANFIS	مثلثی	۲۶	۰/۰۴۸	۰/۰۲۰	۰/۸۸۵	۰/۹۸۰					
دی	P2M1	FIS	مثلثی	-	۰/۰۷۷۱	۰/۰۹۲۹	۰/۷۰۷۴	۰/۵۵۳۸					
	P2M2	ANFIS	مثلثی	۲۶	۰/۰۳۷	۰/۰۱۸	۰/۹۳۰	۰/۹۸۳					
بهمن	P2M1	FIS	گوسی ۲	-	۰/۱۰۳	۰/۰۷۴	۰/۹۶۲	۰/۷۲۸					
	P2M2	ANFIS	گوسی ۲	۲۵	۰/۱۷۴	۰/۰۴۹	۰/۸۹۳	۰/۸۸۰					
اسفند	P2M1	FIS	مثلثی	-	۰/۰۶۶۶	۰/۰۹۶۹	۰/۹۸۴۳	۰/۵۲۸۱					
	P2M2	ANFIS	مثلثی	۱۷	۰/۱۱۷	۰/۰۴۹	۰/۹۵۲	۰/۸۷۸					
فروردین	P2M1	FIS	مثلثی	-	۰/۰۹۱	۰/۰۹۲	۰/۹۱۸	۰/۵۱۴					
	P2M2	ANFIS	مثلثی	۲۴	۰/۱۶۰	۰/۰۷۲	۰/۷۴۶	۰/۶۹۷					
اردیبهشت	P2M1	FIS	مثلثی	-	۰/۰۷۱	۰/۰۹۶۲	۰/۹۴۹۹	۰/۴۶۵۴					
	P2M2	ANFIS	مثلثی	۳۳	۰/۰۸۲	۰/۰۷۲	۰/۹۳۳	۰/۶۹۹					
خرداد	P2M1	FIS	مثلثی	-	۰/۱۱۶	۰/۱۱۶	۰/۷۴۴	۰/۰۶۳					
	P2M2	ANFIS	مثلثی	۱۸	۰/۰۹۴	۰/۰۵۸	۰/۸۳۲	۰/۷۶۶					
تیر	P2M1	FIS	گوسی	-	۰/۰۱۱۳	۰/۰۵۱۲	۰/۹۹۷۶	۰/۱۰۱۳					
	P2M2	ANFIS	گوسی	۵	۰/۰۷۵	۰/۰۶۰	۰/۸۹۵	۰/۷۳۴					
مرداد	P2M1	FIS	مثلثی	-	۰/۰۹۸	۰/۲۰۹	۰/۹۸۶	۰/۷۵۲					
	P2M2	ANFIS	ذوزنقه‌ای	۳۰۳	۰/۳۶۲	۰/۱۹۸	۰/۸۰۹	۰/۷۷۷					
شهریور	P2M1	FIS	مثلثی	-	۰/۱۲۱۷	۰/۲۲۰۸	۰/۹۷۹۱	۰/۷۲۲۷					
	P2M2	ANFIS	مثلثی	۴۵۳۱	۰/۳۲۵	۰/۲۲۶	۰/۸۵۱	۰/۷۱۰					
	P2M1	FIS	مثلثی	-	۰/۳۷۷۲	۰/۲۳۴	۰/۹۱۲	۰/۹۱۴					
	P2M2	ANFIS	ذوزنقه‌ای	۸۱	۰/۷۸۳	۰/۳۷۲	۰/۰۵۹	۰/۷۸۲					
	P2M1	FIS	گوسی	-	۰/۲۹۴۵	۰/۲۸۵۲	۰/۹۴۵	۰/۸۷۲۴					
	P2M2	ANFIS	گوسی ۲	۱۰۴۶	۰/۷۴۴	۰/۳۷۳	۰/۶۴۵	۰/۷۸۲					
	P2M1	FIS	مثلثی	-	۰/۳۸۴	۰/۹۳	۰/۷۲۵	۰/۵۷۲					
	P2M2	ANFIS	ذوزنقه‌ای	۳۱۸	۰/۱۳۶	۰/۱۶۳	۰/۹۹۶	۰/۸۸۷					
	P2M1	FIS	ذوزنقه‌ای	-	۰/۲۴۰۹	۰/۳۷۵۳	۰/۸۹۱۸	۰/۹۳۰۳					
	P2M2	ANFIS	ذوزنقه‌ای	۲۶۶	۰/۱۱۵	۰/۱۵۵	۰/۹۷۵	۰/۹۸۸					
	P2M1	FIS	مثلثی	-	۰/۳۷۷۲	۰/۵۸۸	۰/۸۰۳	۰/۷۴۲					
	P2M2	ANFIS	مثلثی	۶۶۴	۰/۱۷۲	۰/۱۳۶	۰/۸۹۳	۰/۹۸۶					
	P2M1	FIS	ذوزنقه‌ای	-	۰/۱۴	۰/۲۰۸۴	۰/۹۲۹۶	۰/۹۶۷۶					
	P2M2	ANFIS	ذوزنقه‌ای	۲۳۷	۰/۰۶۳	۰/۰۹۲	۰/۹۸۶	۰/۹۹۴					
	P2M1	FIS	گوسی ۲	-	۰/۰۹۱	۰/۱۳۶	۰/۸۹۴	۰/۹۲۶					
	P2M2	ANFIS	گوسی ۲	۷۵	۰/۰۵۹	۰/۱۵۷	۰/۹۵۴	۰/۹۰۳					
	P2M1	FIS	زنگوله‌ای	-	۰/۰۵۱۶	۰/۱۷۴۳	۰/۹۶۵۹	۰/۸۷۹۷					
	P2M2	ANFIS	ذوزنقه‌ای	۱۱۹	۰/۰۴۱	۰/۱۴۵	۰/۹۷۸	۰/۹۱۶					
	P2M1	FIS	مثلثی	-	۰/۲۰۳	۰/۲۲۲	۰/۷۵۷	۰/۲۷۱					
	P2M2	ANFIS	مثلثی	۸۳	۰/۲۱۵	۰/۰۸۱	۰/۸۱۹	۰/۹۰۴					
	P2M1	FIS	مثلثی	-	۰/۱۲۷۷	۰/۱۱۸۹	۰/۹۰۳۷	۰/۷۹۱۲					
	P2M2	ANFIS	مثلثی	۶۷	۰/۱۴۰	۰/۰۸۴	۰/۸۷۵	۰/۸۹۶					



شکل ۱- مقادیر دبی مشاهداتی و محاسباتی در مرحله آزمون: a) مدل P1M2 (b) مدل P2M2



شکل ۲- پراکنش داده‌های مشاهداتی و شبیه‌سازی شده با حدود اطمینان ۹۵ درصد: a) مدل P1M2 (b) مدل P2M2

ممکن نیست و باید این اثرات به صورت مجزا دیده شد. به همین دلیل مشاهده می‌شود که مدل P2M1 (مدل FIS) وابسته به دما) در ماههای آذر و فروردین (با مدل P2M2 (مدل مستقل از دما) نتایج دقیق‌تری از مدل P1M1 (مدل مستقل از دما) ارائه کرده است (جدول ۳). این مطلب نشان می‌دهد که دما در پیش‌بینی جریان در این ماهها مؤثر بوده است. علت این امر تأثیر دمای این ماهها در تبدیل نوع بارش از باران به برف یا بر عکس است. زیرا در این ماهها دما در اطراف صفر درجه سانتی‌گراد در این منطقه در نوسان است. در صورتی که دما بیش از صفر درجه سانتی‌گراد باشد بارش به صورت باران است و مستقیماً در ایجاد رواناب و افزایش دبی موثر است. ولی اگر دما کمتر از صفر درجه سانتی‌گراد باشد بارش به صورت برف و در ایجاد رواناب و افزایش دبی در آن روز بی‌تأثیر است. ضمن آنکه از اردیبهشت تا آبان به طور معمول دما همواره از صفر درجه سانتی‌گراد بیشتر است و در نتیجه

بحث و نتیجه‌گیری

در جدول ۲ مشاهده می‌شود که نتایج مدل ANFIS به ازای همه مدل‌های این بخش (مدل‌های P1M1 (مدل وابسته به دما) و P1M2 (مدل مستقل از دما)) دقیق‌تر از مدل FIS است و در نتیجه مدل ANFIS کارایی بیشتری را نسبت به مدل FIS از خود نشان داده است. همچنین با مقایسه نتایج ملاحظه می‌شود که مدل P1M1 در مقیاس سالانه نتایج بیشتری را ارائه نداده است. این امر نشان می‌دهد که دما در سری سالانه تأثیری در پیش‌بینی نداشته و نمی‌توان از آن برای پیش‌بینی دبی در کل دوره استفاده کرد و با توجه به نتایج، حذف آن بر دقت پیش‌بینی تأثیری ندارد. زیرا دما تأثیرات متفاوتی را در دوره‌ها، فصول و حتی ماههای مختلف بر رژیم بارش، نوع بارش و در نهایت بر جریان رودخانه دارد و در نظر گرفتن این تأثیرات به صورت کلی

- in Water Resource Technology and Management, Balkema Publication, 505pp.
- 4- Kindler J. 1992. Rationalizing water requirements with aid of fuzzy allocation model, J. Water Resource Planning and Management, ASCE, 118(3): 308-323.
 - 5- Kisi O. Haktanir T. Ardiclioglu M. Ozturk O. Yalcin, E. and Uludag, S. 2009. Adaptive neuro-fuzzy computing technique for suspended sediment estimation, Advances in Engineering Software, 40:438-444.
 - 6- Russel S.O. 1996. Reservoir operating rules with fuzzy programming, J. Water resource planning and management, ASCE, 122(3): 165-170.
 - 7- Shu, C. and Ouarda, T.B.M.J. 2008. Regional flood frequency analysis at ungauged sites using the adaptive neuro-fuzzy inference system . J. Hydrology, 349: 31-43.
 - 8- Sivanandam S.N. Sumathi S. and Deepa, S. N. 2007. Introduction to Fuzzy Logic using MATLAB, Springer Berlin Heidelberg, New York. 430pp.

افزایش یا کاهش آن (که همواره در محدوده بالاتر از صفر درجه سانتی گراد در نوسان است) تأثیری بر تغییر نوع بارش از باران به برف ندارد. در حالی که از دی تا اسفند هم در منطقه مورد بررسی دما به طور معمول همواره کمتر از صفر درجه سانتی گراد است و در نتیجه افزایش یا کاهش آن (که همواره در محدوده کمتر از صفر درجه سانتی گراد در نوسان است) تأثیری بر تغییر نوع بارش از برف به باران ندارد.

منابع

- 1- صفوی ح. ۱۳۸۹. پیش‌بینی کیفی رودخانه‌ها با استفاده از سیستم استنتاج فازی- عصبی تطبیقی، مجله محیط‌شناسی، ۳۶(۵۳): ۱۰-۱۳.
- 2- Bardossy A. Bogardi I. and Duckstein, L. 1990. Fuzzy regression in hydrology, J. Water Resource Research, 26(7): 1497-1508.
- 3- Capra A. Li Destri Nicosia O. and Scicolone I. 1994. Application of fuzzy sets to drought classification, P: 479-483 in Tsakiris G. and Santos M.A. Advances